

文章编号 1000-5013(2006)03-0241-03

# 非线性 Pochhammer-Chree 方程的多辛算法

黄 浪 扬

( 华侨大学数学系, 福建 泉州 362021 )

摘要 考虑非线性 Pochhammer-Chree 方程的多辛结构, 通过辛离散多辛结构得到原偏微分方程的多辛算法. 孤立波的数值模拟试验结果表明, 所构造的多辛算法是有效的, 具有良好的长时间数值行为.

关键词 非线性 Pochhammer-Chree 方程, 多辛算法, 守恒律, 孤立波试验

中图分类号 O 241.82

文献标识码 A

近年来, Marsden 等<sup>[1]</sup>和 Bridges<sup>[2]</sup>从不同角度提出了多辛结构和多辛算法的概念, 并已成为人们研究偏微分方程数值解的热门课题. 在一定限制(如在非压缩或接近)条件下, 描述弹性杆的纵向形变波传播的模型方程可用非线性的 Pochhammer-Chree 方程(非线性 P-C 方程)表示. 即

$$u_t - u_{uxx} - u_{xx} - \frac{1}{p}(u^p)_{xx} = 0. \tag{1}$$

在式(1)中,  $u(x, t)$  是纵位移,  $t$  是时间,  $x$  是质点的横坐标. 该方程在离子声波方面应用较为广泛. 对非线性 P-C 方程的研究, 特别是多辛算法的研究尚未见过, 因而对非线性 P-C 方程多辛算法的研究具有重要的意义. 本文给出非线性 P-C 方程的多辛结构及其守恒律, 构造了此方程的多辛 Preissmann 格式. 同时, 通过对非线性 P-C 方程孤立波的数值模拟, 说明了多辛算法的有效性.

## 1 非线性 P-C 方程的多辛结构

由协变的 Legendre 变换, 满足周期边界条件的非线性 P-C 方程(1)可以改写为多辛 PDEs 的形式, 即

$$Mz_t + Kz_x = \nabla_z S(z), \tag{2}$$

在式(2)中,  $S(z) = \frac{1}{2}(v^2 + w_x^2 - q_x^2) + \frac{1}{p(p+1)}u^{p+1}$ ,  $M = \begin{bmatrix} 0 & -1 & 1 & 0 \\ 1 & 0 & 0 & 0 \\ -1 & 0 & 0 & 0 \\ 0 & 0 & 0 & 0 \end{bmatrix}$ ,  $K = \begin{bmatrix} 0 & 0 & 0 & -1 \\ 0 & 0 & 0 & 0 \\ 0 & 0 & 0 & 0 \\ 1 & 0 & 0 & 0 \end{bmatrix}$ ,  $z =$

$[u \ v \ w \ q]^T$ . 方程(2)对应的变分方程为

$$Md z_t + Kd z_x = D_{zz}S(z)dz. \tag{3}$$

方程(3)直接用  $dz$  作外积运算, 可得方程(2)的多辛守恒律为

$$\frac{\partial}{\partial t}(du \wedge dv - du \wedge dw) + \frac{\partial}{\partial x}(dq \wedge du) = 0 \tag{4}$$

在式(4)中,  $\wedge$  为外积算子. Bridges 和 Reich 称如式(2)的方程为具有多辛结构的 Hamilton 型偏微分方程组(Hamilton 型 PDEs), 其最重要的一个性质是它的多辛守恒律是完全局部的. 即式(4)是局部的守恒律, 与边界条件无关, 在局部的任意一个时空区域内, 它都成立. 因此, 与辛守恒律相比, 式(4)更深刻地刻画了系统的性质.

收稿日期 2005-12-03

作者简介 黄浪扬(1974), 男, 讲师, 主要从事偏微分方程数值解法的研究. E-mail: hly6@163.com

基金项目 福建省自然科学基金资助项目(Z0511029)

## 2 多辛算法

多辛性是 Hamilton 型 PDEs 的一个几何性质,因此在数值解法中自然希望离散后仍能保留这类性质.基于这个思想, Bridges 和 Reich 引入了多辛算法的概念,即一种能够保持离散形式的多辛守恒律的数值格式<sup>[2,3]</sup>. Reich 证明了对多辛 Hamilton 型 PDEs 在时间和空间同时应用辛 Runge Kutta 方法,可得到多辛格式<sup>[4]</sup>.例如,在时间和空间同时应用中点格式,便得到一多辛格式,它就是著名的中心 Preissmann 格式.我们在时间和空间方向均用中点格式对方程(2)进行离散,可得

$$\mathbf{M}\left(\frac{\mathbf{z}_{i+1/2}^{j+1/2} - \mathbf{z}_{i+1/2}^{j-1/2}}{\Delta t}\right) + \mathbf{K}\left(\frac{\mathbf{z}_{i+1/2}^{j+1/2} - \mathbf{z}_{i+1/2}^{j-1/2}}{\Delta x}\right) = \nabla_z \mathbf{S}(\mathbf{z}_{i+1/2}^{j+1/2}). \quad (5)$$

即  $\frac{1}{\Delta t}(w_{i+1/2}^{j+1/2} - w_{i+1/2}^{j-1/2}) - \frac{1}{\Delta t}(v_{i+1/2}^{j+1/2} - v_{i+1/2}^{j-1/2}) - \frac{1}{\Delta x}(q_{i+1/2}^{j+1/2} - q_{i+1/2}^{j-1/2}) = \frac{1}{p}(u_{i+1/2}^{j+1/2})^p \triangleq F_{i+1/2}^{j+1/2}$ ,  $\frac{1}{\Delta t}(u_{i+1/2}^{j+1/2} - u_{i+1/2}^{j-1/2}) = v_{i+1/2}^{j+1/2}$ ,  $-\frac{1}{\Delta t}(u_{i+1/2}^{j+1/2} - u_{i+1/2}^{j-1/2}) = (w_{i+1/2}^{j+1/2})_{xx}$ ,  $\frac{1}{\Delta x}(u_{i+1/2}^{j+1/2} - u_{i+1/2}^{j-1/2}) = (q_{i+1/2}^{j+1/2})_{xx}$ . 在上面几个式子中,  $u_i^j \approx u(i\Delta x, j\Delta t)$ ,  $\Delta x$  和  $\Delta t$  分别是空间步长和时间步长,而且  $u_{i+1/2}^{j+1/2} = \frac{1}{2}(u_i^{j+1} + u_{i+1}^{j+1})$ ,  $u_{i+1/2}^{j+1/2} = \frac{1}{2}(u_{i+1}^j + u_{i+1}^{j+1})$ ,  $u_{i+1/2}^{j+1/2} = \frac{1}{4}(u_i^j + u_i^{j+1} + u_{i+1}^j + u_{i+1}^{j+1})$ ,  $(u_i^j)_{xx} = \partial_{xx}^2 u_i^j / \Delta x^2 = (u_{i-1}^j - 2u_i^j + u_{i+1}^j) / \Delta x^2$ , 等等.  $\triangleq$  是个记号,表示前面的式子记作后面的式子.

多辛 Preissmann 格式(5)保持离散多辛守恒律<sup>[4]</sup>,有

$$\frac{(d u_{i+1/2}^{j+1/2} \wedge d w_{i+1/2}^{j+1/2} - d u_{i+1/2}^{j-1/2} \wedge d w_{i+1/2}^{j-1/2}) - (d u_{i+1/2}^{j+1/2} \wedge d v_{i+1/2}^{j+1/2} - d u_{i+1/2}^{j-1/2} \wedge d v_{i+1/2}^{j-1/2})}{\Delta t} + \frac{d q_{i+1/2}^{j+1/2} \wedge d u_{i+1/2}^{j+1/2} - d q_{i+1/2}^{j-1/2} \wedge d u_{i+1/2}^{j-1/2}}{\Delta x} = 0. \quad (6)$$

多辛格式的计算大多是在消去中间变量的基础上实现的.这是因为直接用方程组形式的多辛格式进行计算时,会遇到一系列诸如边界条件如何选取等问题,并且在实际数值计算中需要计算中间变量  $v, w, q$  的值,这样也就大大增加了计算量.因此,我们消去中间变量  $v, w, q$ ,得到一个与多辛 Preissmann 格式等价的 15 点新格式

$$\frac{\partial^2 u_{i+1}^j + 2\partial_x^2 u_i^j + \partial_x^2 u_{i-1}^j}{4\Delta t^2} - \frac{\partial^2 u_{i+2}^j - 2\partial_x^2 u_i^j + \partial_x^2 u_{i-2}^j}{4\Delta t^2 \Delta x^2} - \frac{\partial_x^2 u_i^{j+1} + 2\partial_x^2 u_i^j + \partial_x^2 u_i^{j-1}}{4\Delta x^2} = \frac{1}{4}[F_{i+1/2}^{j+1/2} + F_{i+1/2}^{j+1/2} + F_{i+1/2}^{j-1/2} + F_{i+1/2}^{j-1/2}]_{xx},$$

即

$$\frac{\partial^2 u_{i+1}^j + 2\partial_x^2 u_i^j + \partial_x^2 u_{i-1}^j}{4\Delta t^2} - \frac{\partial^2 u_{i+1}^j - 2\partial_x^2 u_i^j + \partial_x^2 u_{i-1}^j}{4\Delta t^2 \Delta x^2} - \frac{\partial_x^2 u_i^{j+1} + 2\partial_x^2 u_i^j + \partial_x^2 u_i^{j-1}}{4\Delta x^2} = \frac{1}{4p}[(u_{i+1/2}^{j+1/2})^p + (u_{i+1/2}^{j-1/2})^p + (u_{i+1/2}^{j-1/2})^p + (u_{i+1/2}^{j+1/2})^p]_{xx}. \quad (7)$$

## 3 数值实验

采用本文的多辛格式(7),对非线性 P-C 方程(1)的孤立波的长时间行为进行数值模拟.方程(1)的精确孤立波解<sup>[5]</sup>为

$$u(x, t) = \left[ \frac{p(p+1)(v-1)}{2} \right]^{v(p-1)} \cdot \operatorname{sech}^{2(p-1)} \left[ \frac{p-1}{2} \sqrt{1 - \frac{1}{v}} (x - vt + \zeta_0) \right]. \quad (8)$$

式(8)中,  $v(v > 1)$  为波速,  $\zeta_0$  为任意常数.由式(8)可知,非线性弹性杆的纵向形变波为钟状波,且这种解当  $|x| \rightarrow \infty$  时,按指数衰减.所以,对非线性 P-C 方程的差分格式,我们只在有限区间  $(X_L, X_R)$  上进行数值模拟,且对人工边界  $X_L$  和  $X_R$  取得足够远,以满足周期边界条件.由于多辛格式(7)是三层隐格式,所以格式初始时的第 1 层和第 2 层的值均取精确值,离散得到的非线性方程组用简单叠代方法求解.这里只考虑非线性 P-C 方程(1)的多辛格式(7)中,  $p = 2$  时的数值模拟情况.在方程(1)的孤立波解

(8)中, 取  $p = 2, \zeta_0 = 250, v = 1.01$ , 且  $X_L = -400, X_R = 400$ , 并取时间步长为  $\Delta t = 0.05$ , 空间步长为  $\Delta x = 1$ . 图 1 给出了多辛格式(7)在  $t = 500$  时的数值模拟结果与精确解的比较, 图 2 是数值模拟孤立波

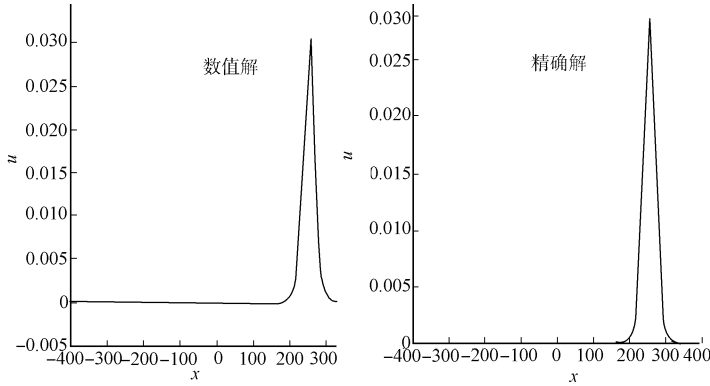


图 1 数值模拟结果与精确解的比较图

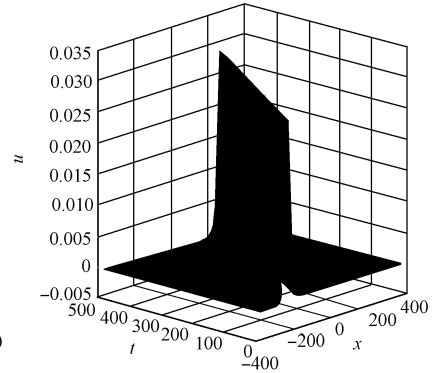


图 2 孤立波传播的模拟结果

的传播过程. 从图 1, 2 可以发现, 方程(1)的多辛格式(7)能很好地模拟孤立波的传播, 计算 10 000 步后仍保持原孤立波的波形不变. 若定义数值解( $u^i_j$ )与精确解( $u$ )在时间  $t = j \Delta t (j = 0, 1, \dots)$  的整体误差  $\sigma$  为

$$\sigma = \max_i |u^i_j - u(i \Delta x, j \Delta t)|.$$

上式中,  $i = -400, -399, \dots, 399, 400$ . 多辛格式(7)在不同时刻的整体误差( $a$ ), 如图 3 所示. 从中可知, 在经过长时间计算后, 整体误差仍能保持在  $10^{-3}$  的数量级内, 误差较小. 数值实验结果表明, 本文所构造的多辛格式对 P-C 方程是有效的, 适用于长时间的数值计算.

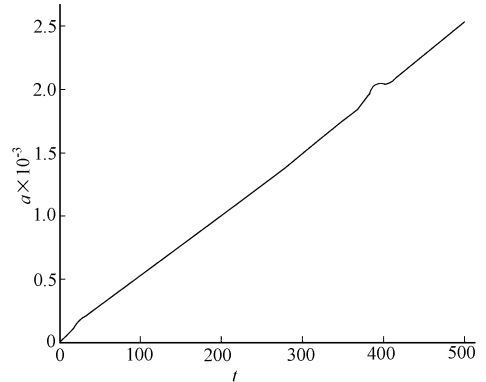


图 3 整体误差图

### 参 考 文 献

- 1 Marsden J E, Patrick G P, Shkoller S. Multi-symplectic geometry, variational integrators and nonlinear PDEs[J]. Comm Math Phys, 1998, 199: 351~ 395
- 2 Bridges T J. Multi-symplectic structures and wave propagation[J]. Math Proc Cam Phil Soc, 1997, 121: 147~ 190
- 3 Bridges T J, Reich S. Multi-symplectic integrators: Numerical Schemes for Hamiltonian PDEs that conserve symplecticity[J]. Physics Letter (A), 2001, 284(4 5): 184~ 193
- 4 Reich S. Multi-symplectic Runge-Kutta methods for Hamiltonian wave equations[J]. J Comput Phys, 2000, 157(5): 473~ 499
- 5 刘广军, 段广森. 非线性弹性杆内纵向波方程的孤立波解[J]. 河南大学学报(自然科学版), 2001, 29(3): 101~ 103

## Multi-Symplectic Algorithm for Nonlinear Pochhammer-Chree Equation

Huang Langyang

(Department of Mathematics, Huaqiao University, 362021, Quanzhou, China)

**Abstract** The multi-symplectic structure of the nonlinear Pochhammer-Chree equation is considered. Using symplectic discretizations for the multi-symplectic structure, a multi-symplectic algorithm is obtained. The numerical experiments show that the multi-symplectic scheme constructed in this paper is effective, and has excellent long time numerical behavior.

**Keywords** nonlinear Pochhammer-Chree equation, multi-symplectic algorithm, conservation law, solitary wave experiment